

Università degli studi di Bergamo

Scuola di Ingegneria (Dolmine)

CCS Ingegneria Edile

LM-24 Ingegneria delle Costruzioni Edili

Complementi di Scienza delle Costruzioni

(ICAR/08 - SdC ; 6 CFU)

A.A. 2020/2021

prof. Egidio RIZZI

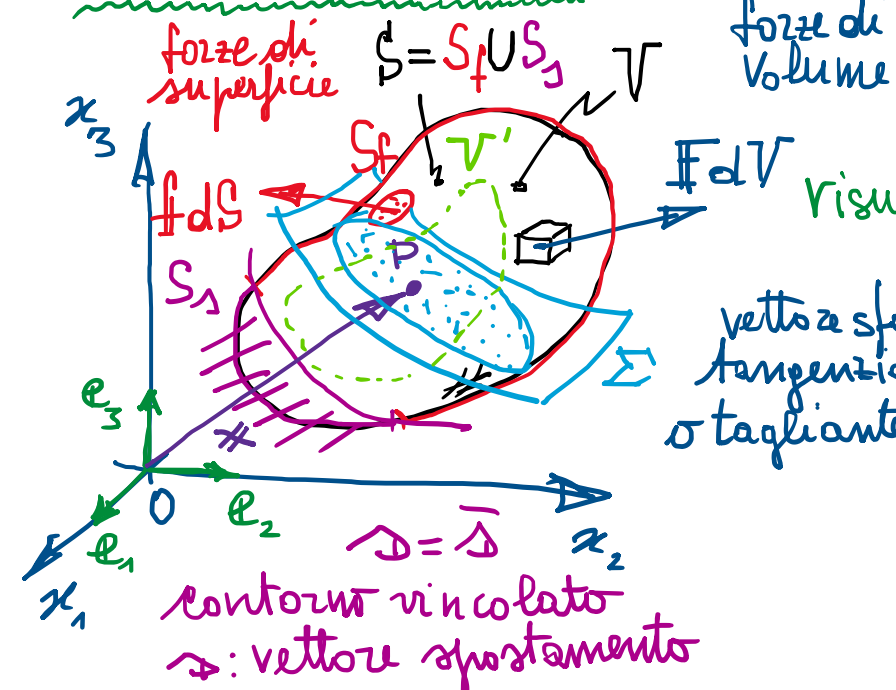
egidio.rizzi@unibg.it

LEZIONE 13

II Meccanica dei Solidi (o dei mezzi continui) $\Rightarrow \forall P \in V$ punto materiale

$$t_{-n}(x) = -t_n(x)$$

Statica dei continui: analisi dello stato di sforzo o tensione



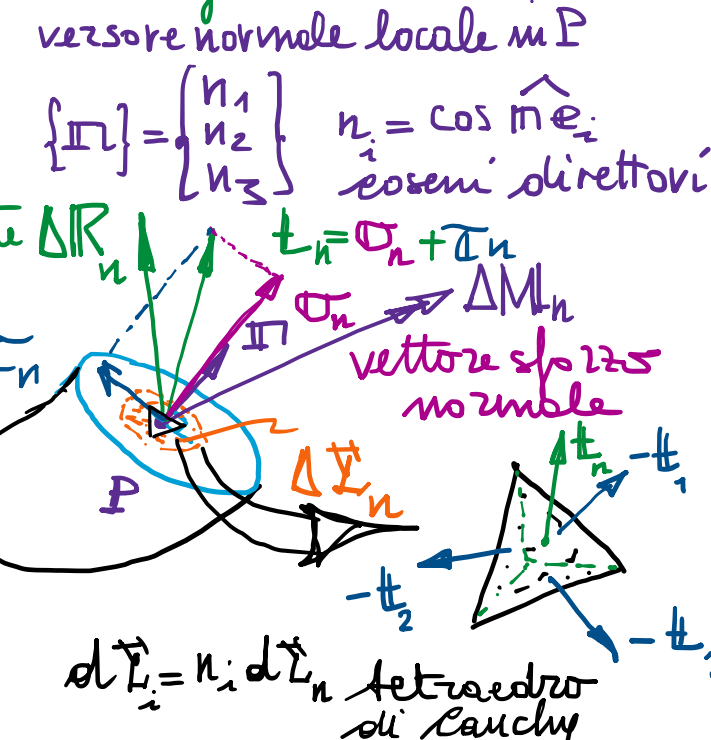
Equilibrio in $\nabla^T \Pi \nabla$
sele
indefinita

Teorema delle divergenze:

$$\int_V \operatorname{div} g \, dV = \int_S n \cdot g \, dS$$

gradiente
 g : campo tensoriale (es. g_{ij})

$$\operatorname{div} = \nabla \cdot = \frac{\partial}{\partial x_i} \cdot$$



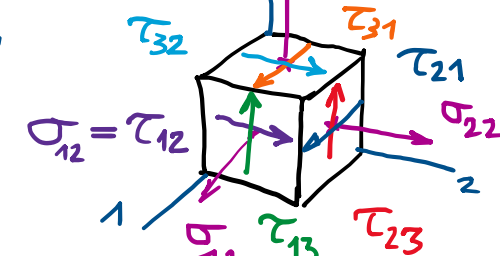
Equil. alle traslazioni:

$$\int_V \Pi \cdot \Omega \, dV + \int_S t_n \, dS = 0$$

$$\int_V \mathbf{F} \, dV + \int_V \operatorname{div} \Phi \, dV = 0$$

$$\int_V (\mathbf{F} + \operatorname{div} \Phi) \, dV = 0$$

$$\operatorname{div} \Phi + \mathbf{F} = 0 \text{ in } V$$



significato fisico delle comp. ti di sforzo σ_{ij}

$$(\operatorname{div} \Phi = -\mathbf{F})$$

- $\lim_{\Delta \Sigma_n \rightarrow 0} \frac{\Delta R_n}{\Delta \Sigma_n} = t_n(x)$ vettore sforzo di Cauchy
- $\lim_{\Delta \Sigma_n \rightarrow 0} \frac{\Delta M_n}{\Delta \Sigma_n} = 0$ (continuo non polare di Cauchy)

Relazione di Cauchy (~ 1822)

$$\text{eq. di equil. alle traslazioni}$$

$$t_n = t_1 n_1 + t_2 n_2 + t_3 n_3 = \sum_i t_i n_i$$

$$t_{nij} = \underbrace{t_{ij}}_{\Omega_{ij}} n_i \Leftrightarrow t_n = \Omega \cdot n = \Pi \cdot \Omega$$

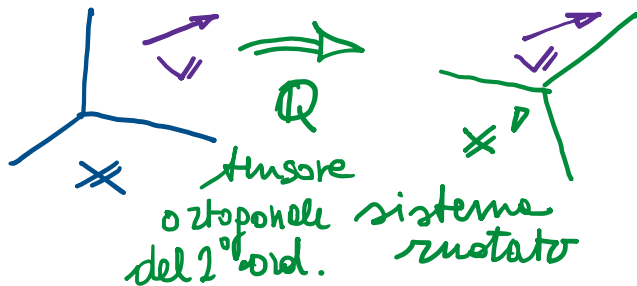
Tensore sforzo di Cauchy

$$[\Omega] = \begin{bmatrix} \Omega_{11} & \Omega_{12} & \Omega_{13} \\ \Omega_{21} & \Omega_{22} & \Omega_{23} \\ \Omega_{31} & \Omega_{32} & \Omega_{33} \end{bmatrix}$$

equil. alle rotazioni:
tensore doppio simmetrico

$$\Omega^T = \Omega \Leftrightarrow \Omega_{ji} = \Omega_{ij}$$

- Trasformazione delle componenti al varire del sistema di riferimento



$$\underbrace{\{v\}'}_{Q^T \cdot \{v\}} = [Q] \cdot \{v\} \Leftrightarrow v_i' = Q_{ij} v_j \quad (\{v\}' = [Q]^{-1} \{v\})$$

$$Q^T \cdot Q = Q \cdot Q^T = \mathbb{I}$$

tensore identità $\mathbb{I} = \begin{bmatrix} 1 & & & \\ & 1 & & \\ & & \ddots & \\ & & & 1 \end{bmatrix}$, $I_{ij} = \delta_{ij} = \begin{cases} 1 & i=j \\ 0 & i \neq j \end{cases}$

$$Q_{ji} Q_{jk} = Q_{ij} Q_{kj} = \delta_{ik}$$

$$\{t_n'\} = [Q] \cdot \{t_n\}$$

$$= [Q] \cdot [\sigma^T] \cdot \{n\}$$

$$= [Q] \cdot [\sigma^T] \cdot [Q] \cdot \{n\}' = [\sigma^T] \cdot \{n\}'$$

$[\sigma^T]$

$$\underbrace{[\sigma']}_{[Q] \cdot [\sigma] \cdot [Q^T]} \Leftrightarrow \sigma_{ij}' = Q_{ik} \sigma_{ke} Q_{je}$$

- Tensioni principali

di zzz.
principale
di zzz.

$$t_n = \sigma \cdot n \quad \sigma_n = \sigma_n \cdot n$$

$$(n_i = 0)$$

autovetori
autovettori

$$\sigma \cdot n = \sigma_n \cdot n \quad \Leftrightarrow (\sigma - \sigma_n \mathbb{I}) \cdot n = 0$$

Solu2. non banale sse:
 $(n \neq 0)$

pb. agli autovetori
associati a σ

L'operatore traccia è invertibile:

$$\text{tr}[\sigma'] = Q_{ik} \sigma_{ke} Q_{il} = Q^T_{ki} Q_{il} \sigma_{ke} = \delta_{ke} \sigma_{kl} = \sigma_{kk} = \text{tr}[\sigma]$$

CHARANT

$\det(\sigma - \sigma_n \mathbb{I}) = +\sigma^3 - I_1 \sigma^2 - I_2 \sigma_n - I_3 = 0$ eq. ne caratteristica
3 radici
 $\sigma_1, \sigma_2, \sigma_3$

prim 1. $I_1 = \text{tr} \sigma = \sigma_{ii}$

secondo 2. $I_2 = \frac{1}{2} (\text{tr} \sigma^2 - \text{tr}^2 \sigma)$

terzo 3. $I_3 = \det \sigma = \frac{1}{3} \text{tr} \sigma^3 - \frac{1}{2} \text{tr} \sigma (\text{tr} \sigma^2 - \frac{1}{3} \text{tr}^2 \sigma)$

det. di Cayley-Hamilton

Componenti volumetrica e deviatorica:

$$\begin{aligned}\sigma &= \sigma_v + \sigma_d \\ &= p I + s \Rightarrow s = \sigma - \frac{\text{tr} \sigma}{3} I\end{aligned}$$

tensione media $\frac{\sigma_{11} + \sigma_{22} + \sigma_{33}}{3}$

$$\begin{aligned}\frac{I_1}{3} &\\ \text{deviatore di spessore} &\\ (tr s = tr \sigma - \frac{\text{tr} \sigma}{3} I = 0) &\end{aligned}$$

Problemi agli autovetori:

$$\begin{aligned}\sigma_v \cdot n &= \sigma_v n \quad \text{autoval. } p \\ p II \cdot n &= p n \quad \text{autovett. } n \quad \text{arbitrari}\end{aligned}$$

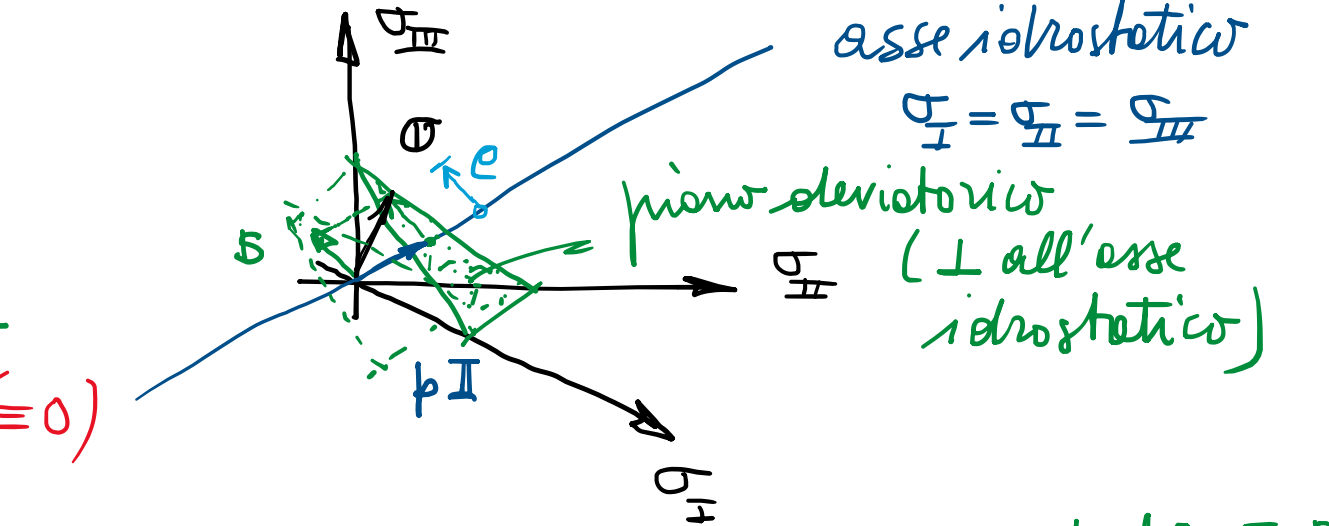
Invarianti del deviatore:

$$\left\{ \begin{array}{l} J_1 \equiv \text{tr } s \equiv 0 \\ J_2 = \frac{1}{2} \text{tr } s^2 \\ J_3 = \frac{1}{3} \text{tr } s^3 \end{array} \right.$$

si cerca soluz.
nella forma:

Sostituendo:

$$\begin{aligned}J_2 &= \frac{1}{3} I_1^2 + I_2 \\ \text{ove} \quad J_3 &= I_3 + \frac{1}{3} I_1 \left(\frac{2}{9} I_1^2 + I_2 \right)\end{aligned}$$



asse idrostatico

$$\sigma_I = \sigma_H = \sigma_{III}$$

piano deviatorico

(\perp all'asse idrostatico)

$$\begin{aligned}s \cdot n &= s_n n \\ (\sigma - p I) \cdot n &= \sigma \cdot n - p n = s n \Rightarrow \sigma \cdot n = (s + p) n \quad \text{autoret. } n\end{aligned}$$

$$\sigma_n \quad \text{autovel. } s_n = \sigma_n - p$$

$$s^3 - J_2 s - J_3 = 0 \quad (\text{equazione in forme defresse})$$

$$s_i = \frac{2}{\sqrt{3}} \sqrt{J_2} \cos \alpha_i = \frac{2}{3} \underbrace{\sqrt{3} J_2}_{\sigma_{eq}^M} \cos \alpha = \sqrt{\frac{2}{3}} \underbrace{\sqrt{2} J_2}_{e} \cos \alpha$$

$$\frac{4 \cdot 2}{3\sqrt{3}} J_2^{3/2} \cos^3 \alpha - J_2 \frac{2}{\sqrt{3}} \sqrt{J_2} \cos \alpha = J_3$$

$$\frac{2}{3\sqrt{3}} J_2^{3/2} \underbrace{(4 \cos^3 \alpha - 3 \cos \alpha)}_{\cos 3\alpha} = J_3 \Rightarrow \cos 3\alpha = \frac{3\sqrt{3}}{2} \frac{J_3}{J_2^{3/2}}$$

$$\begin{aligned}\sigma_i &= s_i + p \quad \leftarrow s_i \leftarrow \alpha_i \\ \left\{ \begin{array}{l} 0 \leq \alpha_1 = \frac{1}{3} \arccos \frac{3\sqrt{3}}{2} \frac{J_3}{J_2^{3/2}} \leq \frac{\pi}{3} \\ \alpha_2 = \alpha_1 + \frac{2\pi}{3} \\ \alpha_3 = \alpha_1 - \frac{2\pi}{3} \end{array} \right. \end{aligned}$$

Comportamento e resistenza dei materiali:

- Elasticio: disaccoppiamento di risposta elastica isotrope volumetrica e deviatorica:

$$P = K \nu \overset{\text{deformazione}}{\underset{\text{volumetrica}}{\wedge}} ; \quad K = \frac{E}{3(1-2\nu)}$$

modulo di volume

$$S = 2G \epsilon \overset{\text{deviatore}}{\underset{\text{di deformaz.}}{\wedge}} \quad G = \frac{E}{2(1+\nu)}$$

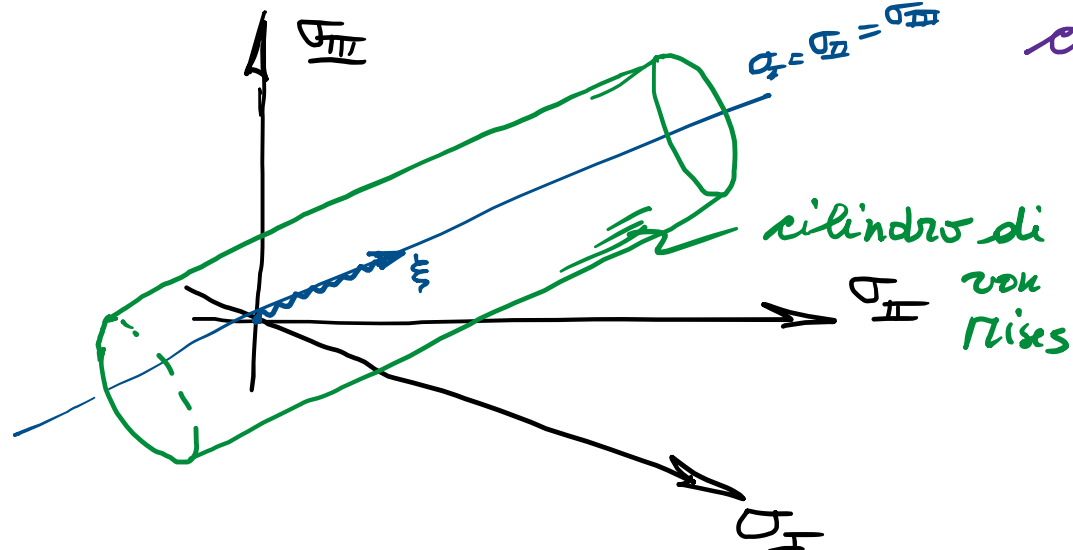
modulo di taglio

E : modulo di elasticità longitudinale o di Young
 ν : coeff. di contrazione trasversale o di Poisson

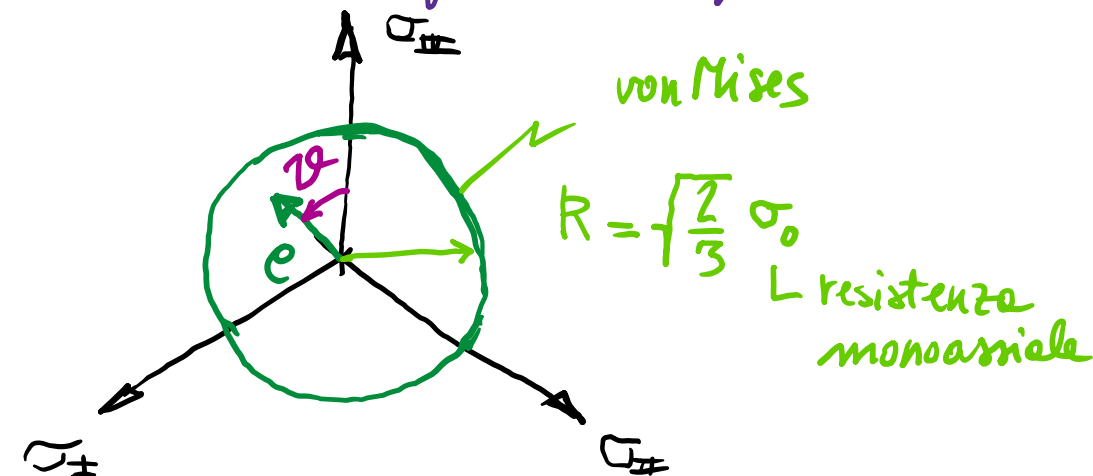
- Plasticio: risposta oltre il campo elastico per diversi materiali (metallici, lepidoti)

$\$$ P, S

Funzione di sforzamento: $f(\sigma) = f\left(\xi = \frac{\tau_1 \phi}{\sqrt{3}}, \rho = \sqrt{2} J_2, \vartheta = \alpha\right)$



coordinate di Haigh-Westergaard



von Mises

$$R = \sqrt{\frac{2}{3}} \sigma_0$$

L resistenza monoassiale